

(19) 日本国特許庁(JP)

(12) 公開特許公報(A)

(11) 特許出願公開番号

特開2014-63285
(P2014-63285A)

(43) 公開日 平成26年4月10日(2014.4.10)

(51) Int.Cl.	F I	テーマコード (参考)
G06F 9/44 (2006.01)	G06F 9/44 530S	5B060
G06F 9/45 (2006.01)	G06F 9/44 322E	5B081
G06F 12/00 (2006.01)	G06F 9/44 530P	
	G06F 12/00 591	

審査請求 未請求 請求項の数 12 O L (全 13 頁)

(21) 出願番号 特願2012-207105 (P2012-207105)
(22) 出願日 平成24年9月20日 (2012.9.20)

(71) 出願人 390009531
 インターナショナル・ビジネス・マシーンズ・コーポレーション
 INTERNATIONAL BUSINESS MACHINES CORPORATION
 アメリカ合衆国10504 ニューヨーク州 アーモンク ニュー オーチャードロード
 (74) 代理人 100108501 弁理士 上野 剛史
 (74) 代理人 100112690 弁理士 太佐 種一
 (74) 代理人 100091568 弁理士 市位 嘉宏

最終頁に続く

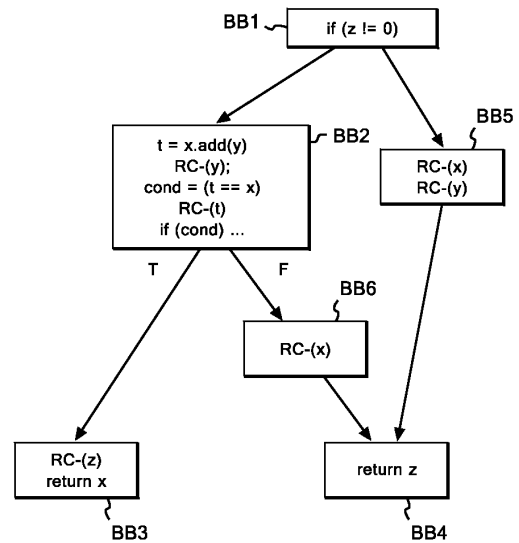
(54) 【発明の名称】 ガベージ・コレクションのためのコード変換方法、プログラム及びシステム

(57) 【要約】

【課題】 ガベージ・コレクション技法において、リファレンス・カウントのためのコードを挿入するための改善された技法を提供する。

【解決手段】 基本ブロックが2つ以上の後続基本ブロックをもつ場合に、上記後続基本ブロックのうち、1つ以上の基本ブロックの先頭において、ある変数が生きて(live)おり、他の基本ブロックSでその変数が生きていない場合、元の基本ブロックと、変数が生きていない後続基本ブロックの間に新しい基本ブロックを挿入し、その新しい基本ブロック内に、その変数に関するRC-を生成する。

【選択図】 図7



【特許請求の範囲】

【請求項 1】

コンピュータの処理により、プログラム・コードを読み込んで、第 1 の基本ブロックに続く 2 つ以上の後継基本ブロックをもつコードに、レファレンス・カウントを減らすコード RC- を挿入する方法であって、

前記後継基本ブロックのうちの第 2 の基本ブロックの先頭において生きている変数と同一の変数が、前記後継基本ブロックのうちの該第 2 の基本ブロックとは別の第 3 の基本ブロックにおいて生きていないことに応答して、前記第 1 の基本ブロックと、前記第 3 の基本ブロックの間に新たな第 4 の基本ブロックを挿入し、該基本ブロック内に該変数に関する RC- のコードを挿入するステップを有する、

10

コード変換方法。

【請求項 2】

前記プログラム・コードが Python バイトコードであり、前記 RC- が、Python 仮想マシン (P V M) 上の J I T コンパイラにより生成されるネイティブ・コードに挿入される、請求項 1 に記載の方法。

【請求項 3】

コンピュータの処理により、プログラム・コードを読み込んで、第 1 の基本ブロックに続く 2 つ以上の後継基本ブロックをもつコードに、レファレンス・カウントを減らすコード RC- を挿入する方法であって、

前記後継基本ブロックのうちの第 2 の基本ブロックの先頭において生きている変数と同一の変数が、前記後継基本ブロックのうちの該第 2 の基本ブロックとは別の第 3 の基本ブロックにおいて生きていない場合：

20

(a) 前記第 3 の基本ブロックの先行基本ブロックの数が 1 の場合、前記第 3 の基本ブロックの先頭に RC- のコードを挿入し、

(b) 前記第 3 の基本ブロックの先行基本ブロックの数が 2 以上の場合、前記先行基本ブロックのすべての基本ブロックの最後において前記変数が生きているなら、前記第 3 の基本ブロックの先頭に RC- のコードを挿入するステップを有する、

コード変換方法。

【請求項 4】

前記プログラム・コードが Python バイトコードであり、前記 RC- が、Python 仮想マシン (P V M) 上の J I T コンパイラにより生成されるネイティブ・コードに挿入される、請求項 3 に記載の方法。

30

【請求項 5】

コンピュータの処理により、プログラム・コードを読み込んで、第 1 の基本ブロックに続く 2 つ以上の後継基本ブロックをもつコードに、レファレンス・カウントを減らすコード RC- を挿入するプログラムであって、

前記コンピュータに、

前記後継基本ブロックのうちの第 2 の基本ブロックの先頭において生きている変数と同一の変数が、前記後継基本ブロックのうちの該第 2 の基本ブロックとは別の第 3 の基本ブロックにおいて生きていないことに応答して、前記第 1 の基本ブロックと、前記第 3 の基本ブロックの間に新たな第 4 の基本ブロックを挿入し、該基本ブロック内に該変数に関する RC- のコードを挿入するステップを実行させる、

40

コード変換プログラム。

【請求項 6】

前記プログラム・コードが Python バイトコードであり、前記 RC- が、Python 仮想マシン (P V M) 上の J I T コンパイラにより生成されるネイティブ・コードに挿入される、請求項 5 に記載のプログラム。

【請求項 7】

コンピュータの処理により、プログラム・コードを読み込んで、第 1 の基本ブロックに続く 2 つ以上の後継基本ブロックをもつコードに、レファレンス・カウントを減らすコー

50

ドRC-を挿入するプログラムであって、

前記コンピュータに、

前記後継基本ブロックのうちの第2の基本ブロックの先頭において生きている変数と同一の変数が、前記後継基本ブロックのうちの該第2の基本ブロックとは別の第3の基本ブロックにおいて生きていない場合：

(a) 前記第3の基本ブロックの先行基本ブロックの数が1の場合、前記第3の基本ブロックの先頭にRC-のコードを挿入し、

(b) 前記第3の基本ブロックの先行基本ブロックの数が2以上の場合、前記先行基本ブロックのすべての基本ブロックの最後において前記変数が生きているなら、前記第3の基本ブロックの先頭にRC-のコードを挿入するステップを実行させる、

コード変換プログラム。

10

【請求項8】

前記プログラム・コードがPythonバイトコードであり、前記RC-が、Python仮想マシン(PVM)上のJITコンパイラにより生成されるネイティブ・コードに挿入される、請求項7に記載のプログラム。

【請求項9】

コンピュータの処理により、プログラム・コードを読み込んで、第1の基本ブロックに続く2つ以上の後継基本ブロックをもつコードに、レファレンス・カウントを減らすコードRC-を挿入するシステムであって、

前記後継基本ブロックのうちの第2の基本ブロックの先頭において生きている変数と同一の変数が、前記後継基本ブロックのうちの該第2の基本ブロックとは別の第3の基本ブロックにおいて生きていないことに応答して、前記第1の基本ブロックと、前記第3の基本ブロックの間に新たな第4の基本ブロックを挿入し、該基本ブロック内に該変数に関するRC-のコードを挿入する手段を有する、

20

システム。

【請求項10】

前記プログラム・コードがPythonバイトコードであり、前記RC-が、Python仮想マシン(PVM)上のJITコンパイラにより生成されるネイティブ・コードに挿入される、請求項9に記載のシステム。

【請求項11】

コンピュータの処理により、プログラム・コードを読み込んで、第1の基本ブロックに続く2つ以上の後継基本ブロックをもつコードに、レファレンス・カウントを減らすコードRC-を挿入するシステムであって、

前記後継基本ブロックのうちの第2の基本ブロックの先頭において生きている変数と同一の変数が、前記後継基本ブロックのうちの該第2の基本ブロックとは別の第3の基本ブロックにおいて生きていない場合：

(a) 前記第3の基本ブロックの先行基本ブロックの数が1の場合、前記第3の基本ブロックの先頭にRC-のコードを挿入し、

(b) 前記第3の基本ブロックの先行基本ブロックの数が2以上の場合、前記先行基本ブロックのすべての基本ブロックの最後において前記変数が生きているなら、前記第3の基本ブロックの先頭にRC-のコードを挿入する手段を有する、

40

システム。

【請求項12】

前記プログラム・コードがPythonバイトコードであり、前記RC-が、Python仮想マシン(PVM)上のJITコンパイラにより生成されるネイティブ・コードに挿入される、請求項11に記載のシステム。

【発明の詳細な説明】

【技術分野】

【0001】

この発明は、コンピュータにおけるガベージ・コレクション技法に関し、より詳しくは

50

、リファレンス・カウント(reference counting)方式のガベージ・コレクション技法に関する。

【背景技術】

【0002】

リファレンス・カウント方式のガベージ・コレクション(GC)は、停止時間の短さ、ガベージ・コレクションをもたない言語(例えば、C言語)との親和性の高さから、いくつかの言語の実装で実際に採用されている。

【0003】

リファレンス・カウント方式のガベージ・コレクションを実現するためには、オブジェクト毎にもつ使用回数を示す整数のカウンタ(incする(RC+)、decする(RC-))のコードを適切に挿入する必要がある。RC-では、カウンタが0になったら、オブジェクトを回収する。

10

【0004】

リファレンス・カウント方式のガベージ・コレクションの典型的な従来技術として下記のような公開公報に記載された技法が知られている。

【0005】

特開2003-50740号公報は、アプリケーションプログラムの動作によりメモリセルの被参照数が瞬間的に大きなピーク値をとる場合にメモリ使用量を抑えて有効なガベージコレクションを行う装置において、各メモリセル内にメモリセルの被参照数のピーク値が表せない程度に小さいビット列であるカウンタを設けておき、ガベージコレクション装置が、アプリケーションプログラムによるメモリセルへのポインタの変更時にカウンタ変更部によりそのビット列で表せる最大値以下の範囲内でカウンタを増減しカウンタが0になればセル解放部によりメモリセルを解放し、また、メモリ不足時等に再カウント部により、ルートポインタからポインタチェーンを辿ることで各メモリセルが参照されている数を調査し、その結果が0のメモリセルは解放し、0以外のメモリセルのカウンタにはカウンタ再設定部により調査結果の数を設定することを開示する。

20

【0006】

上記従来技術では、コードの所定位置に最初から明示的にRC+/RC-が挿入されるが、より最近になって、http://www.hpl.hp.com/personal/Pramod_Joisha/Publications/vee08.pdf、あるいは米国特許第7693919号公報に記載されているように、中間言語レベルで、最初はRC+/RC-を挿入せずに最適化を行い、最後にRC+/RC-を挿入する技法が提案されている。このようにする方がコンパイラの最適化の適用が容易である。

30

【0007】

しかし、http://www.hpl.hp.com/personal/Pramod_Joisha/Publications/vee08.pdfや米国特許第7693919号公報に記載されている技法に従いRC+/RC-を挿入した場合、1) オブジェクトのlast useの後にオブジェクトのアドレスをNULLにする操作が必要であり、2) 基本ブロック(BB)内で生存期間(life time)が閉じる変数についても後続BBでRC-が必要であり、3) RC-でオブジェクトがNULLかどうかの検査が必要という、実行パスを長くする操作が要求される、という問題があった。

40

【先行技術文献】

【特許文献】

【0008】

【特許文献1】特開2003-50740号公報

【特許文献2】米国特許第7693919号公報

【非特許文献】

【0009】

【非特許文献1】http://www.hpl.hp.com/personal/Pramod_Joisha/Publications/vee08.pdf

【発明の概要】

【発明が解決しようとする課題】

50

【 0 0 1 0 】

この発明の目的は、リファレンス・カウント方式のガベージ・コレクション技法において、従来技術よりも改善された態様でリファレンス・カウントのためのコードを挿入できるようにすることにある。

【 課題を解決するための手段 】

【 0 0 1 1 】

この発明は、上記の課題を解決するためになされたものであり、基本ブロック (basic block、以下BBとも記す) が2つ以上の後続基本ブロック (successor BB) をもつ場合に、
(a) 上記後続基本ブロックのうち、1つ以上の基本ブロックSの先頭において、ある変数が生きて (live) おり、他の基本ブロックSでその変数が生きていない場合、元の基本ブ
10 ックと、変数が生きていない後続基本ブロックの間に新しい基本ブロックを挿入し、その新しい基本ブロック内に、その変数に関するRC-を生成する。

【 0 0 1 2 】

式で書くと次のとおりである。

【 数 1 】

$$\left(\bigcup_{s \subset \text{Succ}(B) \wedge s \neq S} \text{live}_{in}(s) \right) \cap \neg \text{live}_{in}(S)$$

この式が空でない変数について、基本ブロックBと基本ブロックSの間に、新しい基本ブ
20 ックを生成し、RC-を生成する。なおこの式で、Succ(B)は、基本ブロックBの後続基本ブロックの集合であり、 $\text{live}_{in}(s)$ は、基本ブロックsの入口生存である変数の集合である。さらに、SはSucc(B)に含まれる。

【 0 0 1 3 】

(b) この発明の別の側面として、上記後続基本ブロックのうち、1つ以上の基本ブ
ックの先頭において、ある変数が生きており、他の1つ以上の基本ブロックでその変数が生きていない場合、

変数が生きていない後続基本ブロックSの先行基本ブロックの数が1である場合、後続基本ブロックの先頭にRC-を生成する。

変数が生きていない後続基本ブロックSの先行基本ブロックの数が2以上である場合、全
30 ての先行基本ブロックの最後において変数が生きていれば、後続基本ブロックの先頭にRC-を生成する。そうでない場合は、上記(a)の手法を適用する。

【 発明の効果 】

【 0 0 1 4 】

この発明のリファレンス・カウント方式のガベージ・コレクションは、従来技術に比較して、以下の操作が不要となることによって、よりコード生成量が少なく、実行パスを短くすることができる。

- オブジェクトのlast useの後にオブジェクトのアドレスをNULLにすること。
- 基本ブロック内で生存期間 (life time) が閉じる変数について後続基本ブロックでRC-
40 すること。
- RC-で、オブジェクトがNULLかどうかの検査。

【 図面の簡単な説明 】

【 0 0 1 5 】

【 図 1 】 本発明を実施するためのハードウェア構成のブロック図である。

【 図 2 】 本発明を実施するためのソフトウェアの機能構成のブロック図である。

【 図 3 】 本発明の第1の実施例に係る処理のフローチャートを示す図である。

【 図 4 】 本発明の第2の実施例に係る処理のフローチャートを示す図である。

【 図 5 】 従来技術におけるリファレンス・カウントの挿入処理の例を示す図である。

【 図 6 】 従来技術におけるリファレンス・カウントの挿入処理の例を示す図である。

【 図 7 】 本発明におけるリファレンス・カウントの挿入処理の例を示す図である。
50

【発明を実施するための形態】

【0016】

以下、図面に従って、本発明の実施例を説明する。これらの実施例は、本発明の好適な態様を説明するためのものであり、発明の範囲をここで示すものに限定する意図はないことを理解されたい。また、以下の図を通して、特に断わらない限り、同一符号は、同一の対象を指すものとする。

【0017】

図1を参照すると、本発明の一実施例に係るシステム構成及び処理を実現するためのコンピュータ・ハードウェアのブロック図が示されている。図1において、システム・バス102には、CPU104と、主記憶(RAM)106と、ハードディスク・ドライブ(HDD)108と、キーボード110と、マウス112と、ディスプレイ114が接続されている。CPU104は、好適には、32ビットまたは64ビットのアーキテクチャに基づくものであり、例えば、インテル社のPentium(商標)4、インテル社のCore(商標)2 DUO、AMD社のAthlon(商標)などを使用することができる。主記憶106は、好適には、2GB以上の容量、より好ましくは、4GB以上の容量をもつものである。

10

【0018】

ハードディスク・ドライブ108には、オペレーティング・システム(OS)202(図2)が、格納されている。オペレーティング・システム202は、Linux(商標)、マイクロソフト社のWindows(商標)7、Windows XP(商標)、Windows(商標)2003サーバ、アップルコンピュータのMac OS X(商標)などの、CPU104に適合する任意のものでよい。

20

【0019】

ハードディスク・ドライブ108にはまた、Apacheなどの、Webサーバとしてシステムを動作させるためのプログラムが保存され、システムの起動時に、主記憶106にロードされる。

【0020】

ハードディスク・ドライブ108にはさらに、Python仮想マシン(PVM)204(図2)を実現するためのCPythonプログラムが保存され、システムの起動時に、主記憶106にロードされる。

【0021】

ハードディスク・ドライブ108にはさらに、アプリケーション・プログラムのバイトコード206(図2)が保存されている。

30

【0022】

ハードディスク・ドライブ108にはさらに、PVM204上で動作し、バイトコード206を、ネイティブ・コード210に変換するJITコンパイラ208が保存されている。JITコンパイラ208は、バイトコード206を構文解析し、コントロール・フロー・グラフを作成して変数の生存解析などを行い、中間処理言語レベルで最適化を行い、最後に、ガベージ・コレクションのためのRC+/RC-のコードを挿入する処理を行う。図2には特に、JITコンパイラ208が含む処理ルーチンとして、生存解析ルーチン208aと、リファレンス・カウント・コード挿入ルーチン208bとが代表的が表示されている。PVM204には、リファレンス・カウント・コード挿入ルーチン208bによって挿入されたコードに従い、オブジェクトに関連するリファレンス・カウントがゼロになったとき、当該実装オブジェクトを回収するガベージ・コレクション機能が実装されている。JITコンパイラ208のリファレンス・カウント・コード挿入ルーチン208bの動作の詳細は、図3及び図4のフローチャートを参照して後で説明する。

40

【0023】

なお、図示しないが、ハードディスク・ドライブ108には、Pythonのソースコードと、Pythonのソースコードをバイトコードに変換する、バイトコードコンパイラなどのプログラムが格納されていてもよい。

【0024】

キーボード110及びマウス112は、オペレーティング・システム(OS)202が

50

提供するグラフィック・ユーザ・インターフェースに従い、ディスプレイ 1 1 4 に表示されたアイコン、タスクバー、テキストボックスなどのグラフィック・オブジェクトを操作するために使用される。

【 0 0 2 5 】

ディスプレイ 1 1 4 は、これには限定されないが、好適には、1 0 2 4 × 7 6 8 以上の解像度を持ち、3 2 ビット true color の LCD モニタである。ディスプレイ 1 1 4 は例えば、P V M 上で実行されるアプリケーション・プログラムによる動作の結果を表示するために使用される。

【 0 0 2 6 】

通信インターフェース 1 1 6 は、好適には、イーサネット(R)プロトコルにより、ネットワークと接続されている。通信インターフェース 1 1 6 は、クライアント・コンピュータ(図示しない)から Apache が提供する機能により、T C P / I P などの通信プロトコルに従い、処理リクエストを受け取り、あるいは処理結果を、クライアント・コンピュータ(図示しない)に返す。

10

【 0 0 2 7 】

アプリケーション・プログラムのバイトコード 2 0 6 は、キーボード 1 1 0 またはマウス 1 1 2 の操作に回答してオペレーティング・システム 2 0 2 が P V M 2 0 4 を介して J I T コンパイラ 2 0 8 を起動することにより、J I T コンパイラ 2 0 8 によって読み込まれ、ネイティブ・コード 2 1 0 に変換される。このようにして生成されたネイティブ・コード 2 1 0 は、オペレーティング・システム 2 0 2 によって実行されることになる。

20

【 0 0 2 8 】

次に、図 3 のフローチャートを参照して、J I T コンパイラ 2 0 8 のリファレンス・カウント・コードを挿入する処理を説明する。以下の処理は主として J I T コンパイラ 2 0 8 のリファレンス・カウント・コード挿入ルーチン 2 0 8 b によって実行されるが、リファレンス・カウント・コード挿入ルーチン 2 0 8 b は J I T コンパイラ 2 0 8 の一部であるので、便宜上、J I T コンパイラ 2 0 8 が主体であるとして説明する。

【 0 0 2 9 】

図 3 において、J I T コンパイラ 2 0 8 は、ステップ 3 0 2 で、プログラム P を読み込む。ここでは、プログラム P は、Python のバイトコード 2 0 6 である。

【 0 0 3 0 】

ステップ 3 0 4 で、J I T コンパイラ 2 0 8 は、プログラム P のコントロール・フロー・グラフ(C F G) C を作成する。

30

【 0 0 3 1 】

次に、ステップ 3 0 6 で、J I T コンパイラ 2 0 8 は、コントロール・フロー・グラフに基づき、生存解析ルーチン 2 0 8 a を呼び出して、C 上の変数の生存解析を行なう。なお、コントロール・フロー・グラフの作成とそれに基づく生存解析は、Andrew W. Appel, "Modern Compiler Implementation in ML", Cambridge University Press, 1998 の第 1 0 章などに記述されているので、ここでは詳細は説明は行なわない。

【 0 0 3 2 】

次に、ステップ 3 0 8 で、J I T コンパイラ 2 0 8 は、C から基本ブロック B を 1 つ取り出すことを試みる。ここで、基本ブロックとは、コンパイラ分野で周知の概念で、制御のフローがその開始地点から始まり、その最終地点を除き停止や分岐の可能性なく最終地点で終るような連続的なステートメントの並びのことである。

40

【 0 0 3 3 】

そして、ステップ 3 1 0 で取り出すべき基本ブロック B がないと判断すると、J I T コンパイラ 2 0 8 は処理を終る。

【 0 0 3 4 】

ステップ 3 1 0 で取り出すべき基本ブロック B があると、J I T コンパイラ 2 0 8 はステップ 3 1 2 で、B の後続基本ブロックの集合 B S を作成する。

【 0 0 3 5 】

50

JITコンパイラ208はステップ314で、BSの要素が1つ以下かどうかを判断するし、もしそうなら、処理はステップ308に戻り、まだ取り出していない別の基本ブロックBを取り出そうと試みる。

【0036】

ステップ314でJITコンパイラ208が、BSの要素が2つ以上だと判断すると、JITコンパイラ208はステップ316で、プログラムP中のすべての変数を含む集合Vを作成する。そしてステップ318でBSから基本ブロックbを1つ取り出すことを試みる。

【0037】

ステップ320で取り出すべき基本ブロックbがないと判断すると、処理はステップ308に戻り、JITコンパイラ208は、Cから、まだ取り出していない別の基本ブロックBを取り出そうと試みる。

10

【0038】

ステップ320で取り出すべき基本ブロックbがあったなら、JITコンパイラ208は、ステップ322で、bの先頭で生きている変数集合Uを作成し、 $U = U \cup V$ とする。

【0039】

ステップ324でJITコンパイラ208は、Uから変数uを1つ取り出すことを試みる。そしてステップ326でuがあるかどうか判断し、もしないなら、ステップ318に戻る。一方、uがあるなら、JITコンパイラ208は、ステップ328で、BS - b、すなわちBSからbを除いた集合の先頭でuが生きていない基本ブロックの集合BD(u)を作成する。

20

【0040】

JITコンパイラ208は、ステップ330で、BD(u)が空かどうか判断し、もしそうなら、ステップ324に戻る。

【0041】

BD(u)が空でないなら、JITコンパイラ208は、ステップ332で、BD(u)が含むそれぞれの基本ブロックbbについて、Bとbbの間に新しい基本ブロックを生成し、その基本ブロックにRC-(u)を生成して、 $V = V - u$ により、変数集合Vから変数uを取り去り、ステップ324に戻る。

【0042】

以上の処理をまとめると、次のようになる。

30

基本ブロックが2つ以上の後続基本ブロックをもつ場合に、上記後続基本ブロックのうち、1つ以上の基本ブロックの先頭において、ある変数が生きて(live)おり、他の基本ブロックSでその変数が生きていない場合、元の基本ブロックと、変数が生きていない後続基本ブロックの間に新しい基本ブロックを挿入し、その新しい基本ブロック内に、その変数に関するRC-を生成する。

【0043】

以上の処理を、式を用いて説明すると、以下のとおりである。

【数2】

$$\left(\bigcup_{s \subset \text{Succ}(B) \wedge s \neq S} \text{live}_{in}(s) \right) \cap \neg \text{live}_{in}(S)$$

40

プログラムにおいて、この式が空でない変数について、基本ブロックBと基本ブロックSの間に、新しい基本ブロックを生成し、RC-を生成する。なおこの式で、Succ(B)は、基本ブロックBの後続基本ブロックの集合であり、 $\text{live}_{in}(s)$ は、基本ブロックsの入口生存である変数の集合である。さらに、SはSucc(B)に含まれる。

【0044】

次に、図4のフローチャートを参照して、図3に示す処理の別の実施例を説明する。図4のフローチャートの処理は、かなりの部分が図3のフローチャートの処理と同一である

50

。すなわち、図4のフローチャートのステップ402～430はそれぞれ、図3のフローチャートのステップ302～330と実質的に同一である。例えば、ステップ402がステップ302に対応し、ステップ404がステップ304に対応し、・・・、ステップ430がステップ330に対応する。

【0045】

そこで、ステップ402～430については、上記ステップ302～330についての説明を援用することにして、図4のフローチャートの処理の説明を、ステップ430から開始すると、JITコンパイラ208は、ステップ430で、BD(u)が空かどうか判断し、もしそうなら、ステップ424に戻る。

【0046】

一方、JITコンパイラ208は、ステップ430でBD(u)が空でないと判断すると、ステップ432でBD(u)から基本ブロックb1を取り出すことを試みる。

【0047】

ステップ434でJITコンパイラ208は、b1があるかどうか判断し、もしないなら、ステップ424に戻る。

【0048】

ステップ434でb1があると判断すると、JITコンパイラ208はステップ436で、b1の先行基本ブロックの数が1かどうか判断し、もしそうなら、ステップ438で、b1の先頭にRC-(u)を生成し、 $V = V - u$ により、Vからuを取り去る。そしてステップ424に戻る。

【0049】

b1の先行基本ブロックの数が1でないなら、JITコンパイラ208はステップ440で、b1の全ての基本ブロックの最後でuが生きているかどうか判断し、もしそうならステップ438で、b1の先頭にRC-(u)を生成し、 $V = V - u$ により、Vからuを取り去り、ステップ424に戻る。

【0050】

ステップ440で、b1の全ての基本ブロックの最後でuが生きているわけではないと判断すると、JITコンパイラ208はステップ442で、BD(u)が含むそれぞれの基本ブロックbbについて、Bとbbの間に新しい基本ブロックを生成し、その基本ブロックにRC-(u)を生成して、 $V = V - u$ により、変数集合Vから変数uを取り去り、ステップ424に戻る。なお、ステップ442は、図3のステップ332と処理内容が同一である。

【0051】

次に、本発明を下記のようなコードに適用した例を説明する。

```
foo(x, y, z) {
  if (z != 0) {
    t == x.add(y)
    if ((t == x) { return x; }
  }
  return z;
}
```

【0052】

比較のため先ず、米国特許第7693919号公報あるいはhttp://www.hpl.hp.com/personal/Pramod_Joisha/Publications/vee08.pdfに示す技法を適用した場合について示す。

【0053】

すると、図5に示すような、BB1、BB2、BB3、BB4及びBB5の5つの基本ブロックに分割される。

【0054】

http://www.hpl.hp.com/personal/Pramod_Joisha/Publications/vee08.pdfには下記の式が示されている。

10

20

30

40

50

【数 3】

$$D' = \left(\text{live}_{in}(B) \right) \cup \left(\bigcup_{s \in B} \text{def}_{s_{\text{must}}}(s) \right) - \text{live}_{in}(B')$$

この式で、 $\text{def}_{\text{must}}()$ は、必須の定義を示す。

【0055】

この式を用いて、図5の場合の計算を試みる。

B' = BB3について

10

B = BB2: $\text{live}_{in}(\text{BB2}) = \{x, y, z\}$, $\text{def}_{\text{must}}(s \text{ in BB2}) = \{t\}$

$\text{live}_{in}(\text{BB3}) = \{x\}$

この値を用いて

D' for BB3

$= (\text{live}_{in}(\text{BB2}) \quad \text{def}_{\text{must}}(s \text{ in BB2})) - \text{live}_{in}(\text{BB3})$

$= (\{x, y, z\} \quad \{t\}) - \{x\} = \{y, z, t\}$

B' = BB4について

B = BB1: $\text{live}_{in}(\text{BB1}) = \{x, y, z\}$, $\text{def}_{\text{must}}(s \text{ in BB1}) = \{\}$

B = BB2: $\text{live}_{in}(\text{BB2}) = \{x, y, z\}$, $\text{def}_{\text{must}}(s \text{ in BB2}) = \{t\}$

$\text{live}_{in}(\text{BB4}) = \{z\}$

20

この値を用いて

D' for BB4

$= ((\text{live}_{in}(\text{BB1}) \quad \text{def}_{\text{must}}(s \text{ in BB1})) \quad (\text{live}_{in}(\text{BB2}) \quad \text{def}_{\text{must}}(s \text{ in BB2})))$

$- \text{live}_{in}(\text{BB4})$

$= ((\{x, y, z\}) \quad (\{x, y, z\} \quad \{t\})) - \{z\}$

$= \{x, y, z, t\} - \{z\}$

$= \{x, y, t\}$

【0056】

例えば変数yは、BB2において、 $x.add(y)$ でlastuseであり、 $\text{dieacross}(x.add(y)) = y$ となり $x.add(y)$ の後に $\text{RC}_-(y)$ が挿入される。ここで、 $\text{RC}_-(y)$ とは、 $\text{RC}_-(y)$ の中ではreference countがdecrementされた後に $y=NULL$ が代入されるものである(DAN semantics)。さらに、D'に従って、BB3とBB4の前に $\text{RC}_-(y)$ を挿入する。 $\text{RC}_-(y)$ とは、yがNULLでないときのみ $\text{RC}(y)$ を呼ぶものである。

30

【0057】

ここで、もし米国特許第7693919号公報あるいはhttp://www.hpl.hp.com/personal/Pramod_Joisha/Publications/vee08.pdfには記述されていない、定数伝搬の最適化を導入するならば、 $\text{RC}_-(var)$ について、BB3に到達するyが常にNULLであることがわかるので、 $\text{RC}_-(y)$ を削除することは可能である。

CPythonやYARVのように実装上オブジェクトのアドレスがNULLにならない、という知識を利用して、BB3の $\text{RC}_-(z)$ は $\text{RC}_-(z)$ に、BB4の $\text{RC}_-(x)$ は $\text{RC}_-(x)$ に、置き換え可能である。このようにして最適化した後のコードを図6に示す。すなわち、BB4では、yがNULLであるかどうかのチェックが常に行われBB2から到達した場合必要ないにもかかわらず、実行命令数を増やす。

40

【0058】

本発明を適用した場合は、図7のようになる。ここで、

$\text{live}_{in}(\text{BB2}) = \{x, y, z\}$, $\text{live}_{in}(\text{BB4}) = \{z\}$ である。

BB B = BB1, BB S = BB4、の場合を考えると、

$\text{live}_{in}(\text{BB2}) \quad \neg \text{live}_{in}(\text{BB4}) = \{x, y\}$

となり、BB1とBB4の間に新しいBB5を挿入し、 $\text{RC}_-(x)$ と $\text{RC}_-(y)$ を生成する。すると、BB1->BB4のパスで、使われないオブジェクトxとyを回収可能である。

50

同様にBB2->BB4のパスにBB6を挿入し、RC-(x)を生成する。

【0059】

なお、以上の説明では、RC+のコードを挿入する処理については言及されていないが、RC+は従来技術に従い挿入してよい。

【0060】

図7のコードは、図5あるいは図6のコードと比較して、以下の操作が不要となる。

- オブジェクトのlast useの後にオブジェクトのアドレスをNULLにすること。
- 基本ブロック内で生存期間(life time)が閉じる変数について後続基本ブロックでRC-すること。
- RC-で、オブジェクトがNULLかどうかの検査。

10

【0061】

以上のように本発明を、Python上のJITコンパイラに実装した例として説明してきたが、本発明はこれには限定されず、PHPなど、レファレンス・カウント方式のガベージ・コレクションを実装する任意の処理系に相当であることを理解されたい。

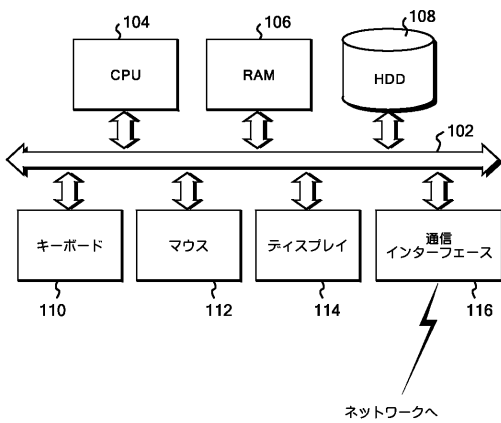
【符号の説明】

【0062】

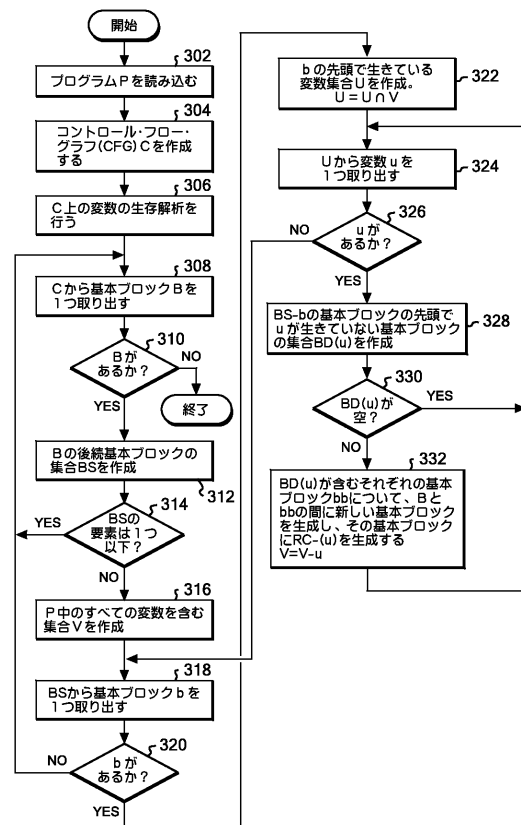
- 104・・・CPU
- 106・・・RAM
- 108・・・HDD
- 202・・・OS
- 204・・・PVM
- 206・・・バイトコード
- 208・・・JITコンパイラ
- 208a・・・生存解析ルーチン
- 208b・・・リファレンス・カウント・コード挿入ルーチン

20

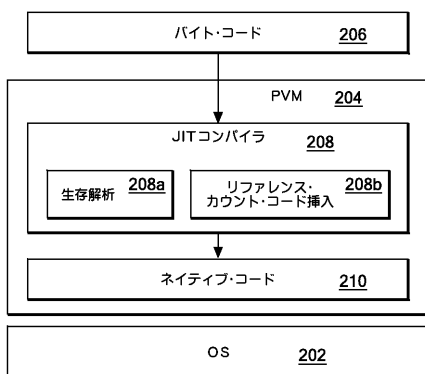
【図1】



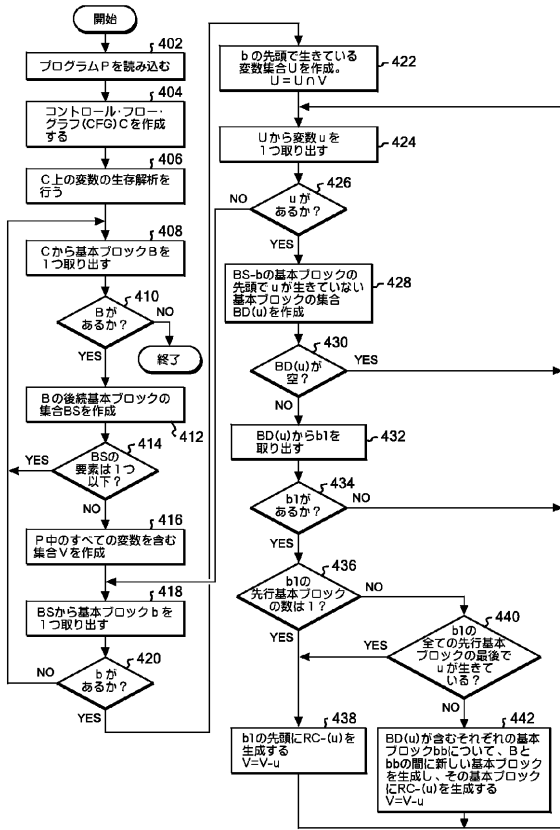
【図3】



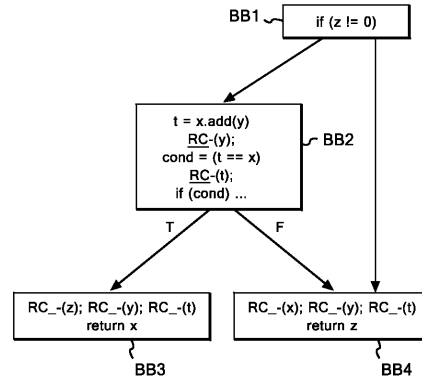
【図2】



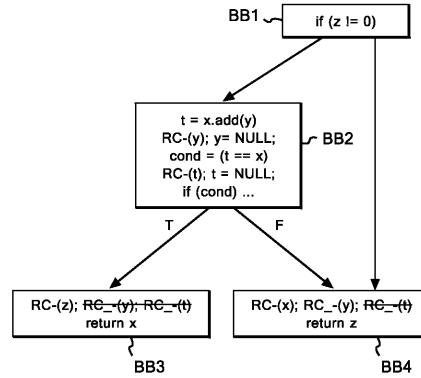
【 図 4 】



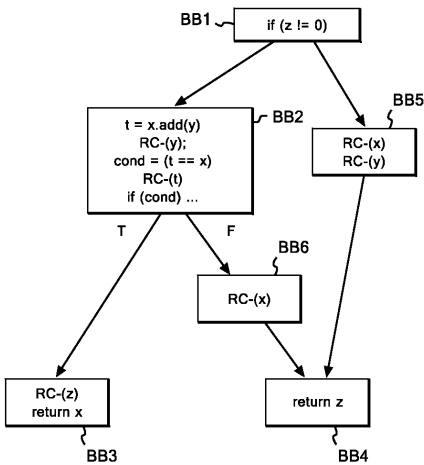
【 図 5 】



【 図 6 】



【 図 7 】



フロントページの続き

(72)発明者 石崎 一明

東京都江東区豊洲五丁目6番52号 NBF豊洲チャンネルフロント 日本アイ・ビー・エム株式会
社 東京基礎研究所内

Fターム(参考) 5B060 AA10

5B081 AA09 CC30 CC41